



03-07/GP/PM-718

Microcizalla en los paraneises (PC-CA) del
C. de Noya.



03-07/GP/PM-719.

Micropliegues de primera fase en paraneises (PC-CA) del C. de Noya.



03-07/GP/PM-723.

Micropliegues de segunda fase en el orto-
gneis biotítico ($N\gamma_b^1$) migmatizado



03-07/GP/PM-724.

Idem anterior.

03-07/GP/PM-725.

Idem anterior.





03-07/GP/PM-727.

Mesopliegues de segunda fase en los esquies
tos (PC-Se) migmatizados.



03-07/GP/PM-740.

Ortoneis biotítico ($N_b^{Y^1}$). Típica estructura lineal.



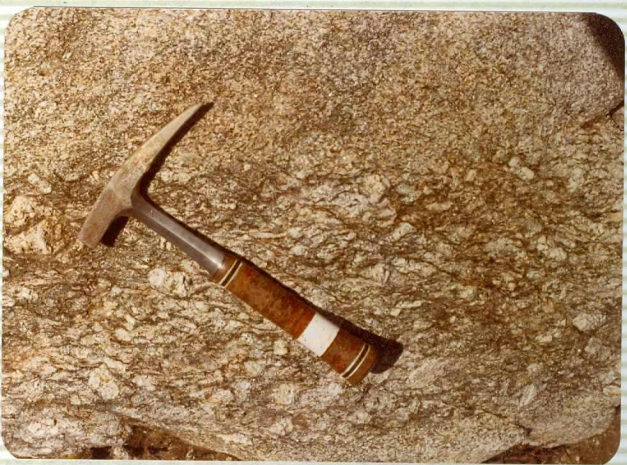
03-07/GP/PM-743.

Micropliegues de segunda fase en los metasedimentos (PC-CA) del "Complejo de Noya".



03-07/GP/PM-744.

Idem anterior.



03-07/GP/PM-746.

Contacto ortoneis glandular (NG_{mb}^1) grano-
to de dos micas ($3-4 \gamma_{mb}^2$). En el ortoneis se
observan planos de cizalla y de esquistosida-
dad.



03-07/GP/PM-747.

Planos de cizalla y de esquistosidad en el
granito de dos micas ($3-4 \gamma_{mb}^2$). El lápiz mar-
ca la dirección del plano de cizalla.



03-07/GP/PM-748.

Lineaciones de intersección S_1-S_2 en los -
paraneises (PC-CA) del "Complejo de Noya".



03-07/TC/DR-388.

Detalle de la granodiorita precoz con megacristales ($b\gamma\eta^2$). Se aprecian planos de esquistosidad (lapiz verde) y de cizalla (rojo)



03-07/TC/DR-391.

Filón de granito de dos micas ($2-3 \gamma^2_{mb}$), en el que se observan planos de esquistosidad (lapiz verde).



03-07/TC/DR-395.

Esquistos (PC-Se) en los que se observan planos de cizalla (dirección del lápiz verde).